

**Общая информация.**

Видеолекции курса доступны по ссылке: [GO TO HYDRAULIC FRACTURING](#).

**Содержание**

|           |   |           |
|-----------|---|-----------|
| <b>1</b>  | <b>Лекция 16.02.2021 (Донцов Е.В.)</b>  | <b>3</b>  |
| 1.1       | Из чего состоит любая модель ГРП? Основные компоненты . . . . .               | 4         |
| 1.2       | Модель утечки по Картеру . . . . .  | 5         |
| 1.3       | Течение жидкости . . . . .  | 6         |
| 1.4       | Равновесие (упругость) горной породы . . . . .                                | 7         |
| <b>2</b>  | <b>Лекция 02.03.2021 (Донцов Е.В.)</b>  | <b>8</b>  |
| 2.1       | Уравнение упругости, ЗСМ. Задача для полубесконечной трещины . . . . .        | 8         |
| <b>3</b>  | <b>Лекция 09.03.2021 (Донцов Е.В.)</b>  | <b>21</b> |
| 3.1       | Задача для полубесконечной трещины (продолжение), плоская трещина . . . . .   | 21        |
| <b>4</b>  | <b>Лекция 16.03.2021 (Донцов Е.В.)</b>  | <b>22</b> |
| 4.1       | Модель радиальной трещины и модель PKN . . . . .                              | 22        |
| <b>5</b>  | <b>Лекция 23.03.2021 (Донцов Е.В.)</b>  | <b>23</b> |
| 5.1       | Модель EP3D . . . . .   | 23        |
| <b>6</b>  | <b>Лекция 02.04.2021 (Валов А.В.)</b>   | <b>24</b> |
| 6.1       | Модель Planar3D ILSA: основные уравнения, классификация элементов . . . . .   | 24        |
| <b>7</b>  | <b>Лекция 08.04.2021 (Валов А.В.)</b>   | <b>25</b> |
| 7.1       | Модель Planar3D ILSA: дискретизация, поиск фронта, алгоритм . . . . .         | 25        |
| <b>8</b>  | <b>Лекция 13.04.2021 (Байкин А.Н.)</b>  | <b>26</b> |
| 8.1       | Модель Planar3D Biot: постановка задачи, перенос граничных условий . . . . .  | 26        |
| <b>9</b>  | <b>Лекция 20.04.2021 (Байкин А.Н.)</b>  | <b>27</b> |
| 9.1       | Модель Planar3D Biot: слабая постановка, штраф, пороупругие эффекты . . . . . | 27        |
| <b>10</b> | <b>Лекция 27.04.2021 (Байкин А.Н.)</b>  | <b>28</b> |
| 10.1      | Перенос проппанта: постановка задачи, обезразмеривание, оседание . . . . .    | 28        |
| <b>11</b> | <b>Лекция 30.04.2021 (Байкин А.Н.)</b>  | <b>29</b> |
| 11.1      | Перенос проппанта: осреднение, численный алгоритм, бриджинг . . . . .         | 29        |
| <b>12</b> | <b>Лекция 11.05.2021 (Байкин А.Н.)</b>  | <b>30</b> |
| 12.1      | Моделирование течения жидкости в скважине . . . . .                           | 30        |
| 12.2      | Разделение потоков между трещинами . . . . .                                  | 36        |
| 12.3      | Математическая модель гидроудара в вертикальной скважине . . . . .            | 36        |

|  |           |
|--|-----------|
| <b>13 Лекция 18.05.2021 (Байкин А.Н.)</b>            | <b>37</b> |
| 13.1 Модели инициации трещины гидроразрыва . . . . . | 37        |

# Гидроразрыв пласта

## Конспект лекций и семинаров

Муравцев А.А.<sup>1</sup>

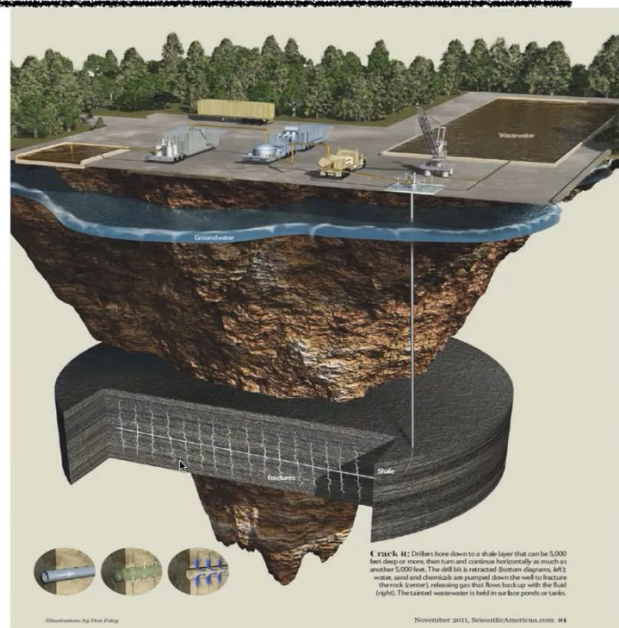
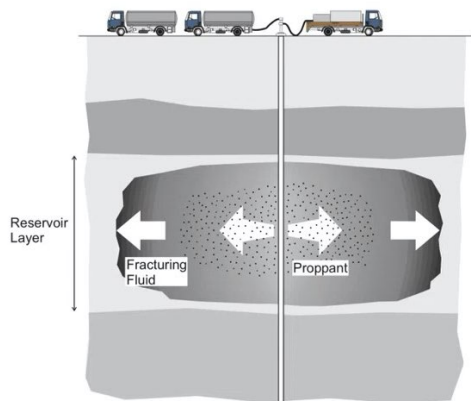
7 февраля 2023 г.

### 1 Лекция 16.02.2021 (Донцов Е.В.)

План на сегодня: рассказать про основные компоненты моделирования ГРП (HF = hydraulic fracturing), про основные уравнения и основные геометрии.

#### Hydraulic fracturing (HF)

- Essential components of HF modeling
- Governing equations
- Basic HF model geometries



В двух словах разница между conventional и unconventional:

- 1) conventional – то, что было, грубо говоря, до 2000-х годов – вертикальная скважина, пласт, рвём гидроразрывом пласта, обычно одна трещина
  - 2) unconventional – когда сланцы, например, то бурится горизонтальная скважина, проводится многостадийный ГРП (за одну стадию можем сделать несколько трещин, затем поставить перегородку, сделать ещё несколько трещин и так далее); можем также сделать несколько скважин
- Концептуально с точки зрения математики разницы между conventional и unconventional практически нет. У нас либо одна трещина (conventional) или множество трещин (unconventional),

<sup>1</sup>конспектирует; email: almuravcev@yandex.ru

т.е. с точки зрения моделирования unconventional моделировать дольше, сложнее. Но повторяюсь, что концептуально основная физика везде одинакова.

## 1.1 Из чего состоит любая модель ГРП? Основные компоненты

### Essential pieces of a hydraulic fracture model

#### 1. Volume balance of the injected fluid (incompressible):

Volume injected = Fracture volume + leak-off

#### 2. Fluid flow equations:

Viscous pressure drop inside the fracture

#### 3. Rock equilibrium (elasticity):

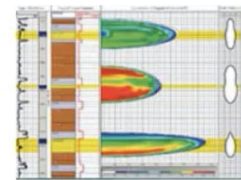
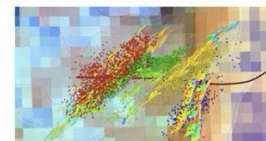
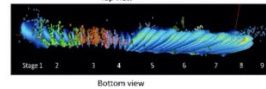
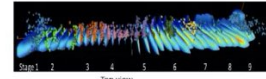
Fluid pressure = Stress + Stiffness\*FracWidth

#### 4. Propagation condition:

Some parameter reaches a critical value near the front

#### 5. Proppant transport (not covered):

Particles flow with fluid + gravitational settling

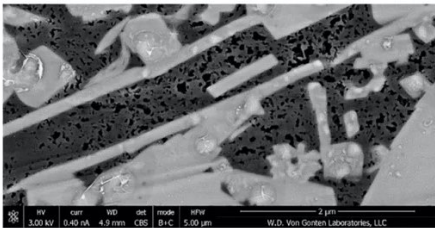
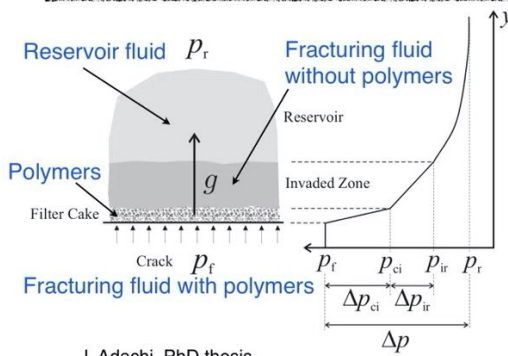


Основные компоненты любой модели гидроразрыва пласта:

- 1) закон сохранения жидкости; в 99% случаев предполагается, что жидкость несжимаема, тогда выполняется закон сохранения объёма; но бывают случаи сжимаемых жидкостей (например, когда ГРП делают газом или делают пенный ГРП), тогда выполняется закон сохранения массы, т.е. закачиваемый объём жидкости равен объёму жидкости в трещине плюс утечки (трещину ГРП делаем в пористом резервуаре, поэтому есть утечки из трещины в резервуар – в зависимости от пористости и других параметров утечки могут либо доминировать, либо нет);
- 2) уравнение течения жидкости в трещине;
- 3) равновесие (упругость) горной породы;
- 4) условие распространения трещины;
- 5) транспорт проппанта

## 1.2 Модель утечки по Картеру

### Carter's leak-off model



#### Flow through filter cake:

$$g_c = \alpha \frac{dh_c}{dt}$$

this equation says that the growth rate of the filter cake is linearly proportional to the amount of fluid leaked from the fracture (the constant of proportionality is measured experimentally)

$$g_c = \frac{\kappa_c}{\mu} \frac{\Delta p_{ci}}{h_c}$$

this is Darcy's law (quasi-static flow)

Solution:  $g_c = \frac{C_c}{\sqrt{t}}$   $C_c = \sqrt{\alpha \frac{\kappa_c}{\mu} \frac{\Delta p_{ci}}{h_c}}$

#### Flow through invaded zone:

$$g_i = \frac{\kappa}{\mu_{filt}} \frac{\Delta p_{ir}}{h_i}$$

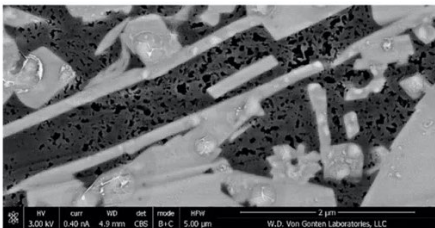
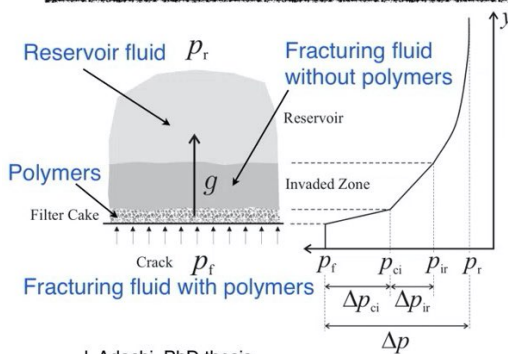
this is Darcy's law (quasi-static flow)

$$g_i = \phi \frac{dh_i}{dt}$$

this is volume balance that states that the volume of fluid leaked into the formation determines the size of the invasion zone

Solution:  $g_i = \frac{C_i}{\sqrt{t}}$   $C_i = \sqrt{\phi \frac{\kappa}{\mu_{filt}} \frac{\Delta p_{ir}}{h_i}}$

### Carter's leak-off model



#### Flow in reservoir:

$$\frac{\partial p}{\partial t} = D \frac{\partial^2 p}{\partial y^2} \quad \text{1D diffusion equation (volume balance + Darcy)}$$

$$p|_{t=0} = p_r \quad \text{initial condition}$$

$$p|_{y=0} = p_{ir} \quad \text{boundary condition}$$

To solve this equation, introduce new variable:

$$\xi = \frac{y}{\sqrt{4Dt}} \Rightarrow -\frac{y}{2t\sqrt{4Dt}} p' = \frac{D}{4Dt} p'' \Rightarrow -2\xi p' = p''$$

Solution of the above differential equation is:

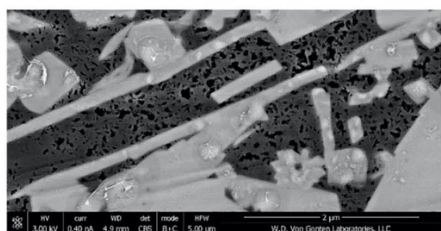
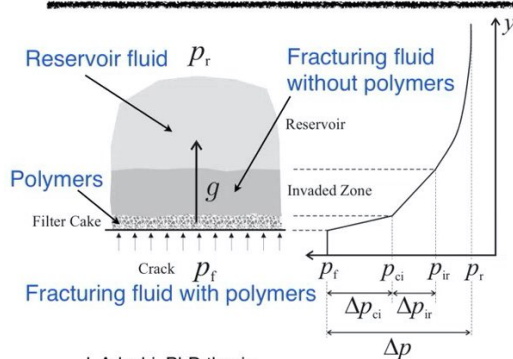
$$p = p_r + (p_{ir} - p_r) \operatorname{erfc}(\xi^2) \quad \operatorname{erfc}(x) = 1 - \frac{2}{\sqrt{\pi}} \int_0^x e^{-t^2} dt$$

The leak-off flux is then (from Darcy):

$$g_r = -\frac{k_r}{\mu_r} \frac{\partial p}{\partial y} \Big|_{y=0} = \frac{C_r}{\sqrt{t}} \quad C_r = \sqrt{\frac{k_r c_t \phi}{\pi \mu_r}} (p_{ir} - p_r)$$



## Carter's leak-off model



Combined result if all the mechanisms are present:

$$\Delta p = \Delta p_{ci} + \Delta p_{ir} + (p_{ir} - p_r)$$

$$C_t = \frac{2C_c C_i C_r}{C_c C_i + \sqrt{C_c^2 C_i^2 + 4C_r^2 (C_c^2 + C_i^2)}}$$

In the above result, the individual leak-off coefficients are computed by using the total pressure drop, i.e. the reservoir part is given by

$$C_r = \sqrt{\frac{k_r c_t \phi}{\pi \mu_r} \Delta p}$$

Recall the main assumptions of the model:

1D diffusion, i.e. the diffusion length scale should be much smaller than the fracture size

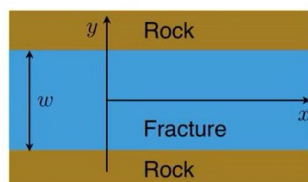
The net pressure is often neglected, whereby  $\Delta p = \sigma_0 - p_r$

It is implicitly assumed that one type of fracturing fluid is used

More reading: Economides & Nolte 2000, section 6-4.

## 1.3 Течение жидкости

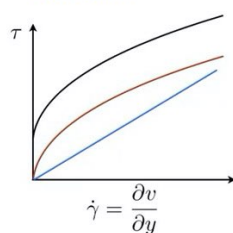
## Fluid flow



Herschel-Bulkley  $\tau = \tau_0 + k\dot{\gamma}^n$

Power-law  $\tau = k\dot{\gamma}^n$

Newtonian  $\tau = \mu\dot{\gamma}$



$$v = v_x(y)$$

given the geometry, we have only one component of the velocity vector that varies only across the channel

$$\frac{\partial p}{\partial x} = \frac{\partial \tau}{\partial y}$$

this comes from Navier-Stokes equations or equilibrium equations

$$\tau = \mu \frac{\partial v}{\partial y}$$

this states that the rheology is Newtonian

$$v|_{y=\pm w/2} = 0 \quad \text{this is no-slip boundary condition at the fracture walls}$$

General solution:

$$v = \frac{\partial p}{\partial x} \frac{y^2}{2} + Ay + B$$

Actual solution:

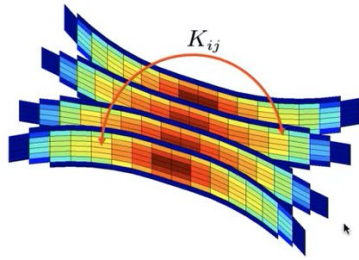
$$v = -\frac{\partial p}{\partial x} \frac{w^2 - 4y^2}{8\mu}$$

Total flux is:

$$q = \int_{-w/2}^{w/2} v(y) dy = -\frac{w^3}{12\mu} \frac{\partial p}{\partial x}$$

## 1.4 Равновесие (упругость) горной породы

### Elasticity



Elasticity equation ensures that rock surrounding open fracture(s) is in equilibrium

Every open element induces a stress change (all components) in the whole space

The interaction coefficient (induced stress divided by aperture) depends on the elastic properties and the distance from the element and generally decays quickly  $\sim 1/r^3$  for 3D geometry

For a plane strain fracture, the elasticity equation reads:

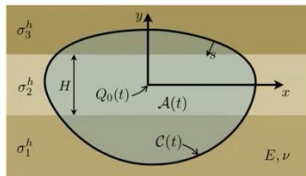
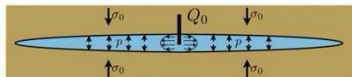
$$p = \sigma_0 - \frac{E'}{4\pi} \int_{-l}^l \frac{w(s) ds}{(x-s)^2} \quad E' = \frac{E}{1-\nu^2}$$

For a planar fracture, the elasticity equation reads:

$$p(x, y, t) = \sigma^h(y) - \frac{E'}{8\pi} \int_{\mathcal{A}(t)} \frac{w(x', y', t) dx' dy'}{[(x' - x)^2 + (y' - y)^2]^{3/2}}$$

For general expressions in 3D, see Crouch and Starfield, 1983

For expressions in layered materials, see Peirce and Siebrits, 2000



## 2 Лекция 02.03.2021 (Донцов Е.В.)

### 2.1 Уравнение упругости, ЗСМ. Задача для полубесконечной трещины

Давайте вспомним предыдущую лекцию.

В модели ГРП есть **несколько основных концепций**, несколько основных физических процессов, которые необходимо описать и которые любой симулятор ГРП описывает (не важны тип геометрии, количество трещин, способ решения явный/ неявный – главное: учесть правильную физику/механику).

**Первое:** закон сохранения жидкости. Предполагается, что она несжимаемая: закачиваем некий объём жидкости в скважину, часть этого объёма генерирует трещину и плюс часть жидкости утекает в виде утечек

**Второе:** градиент давления внутри трещины, который образуется из-за вязкого течения жидкости.

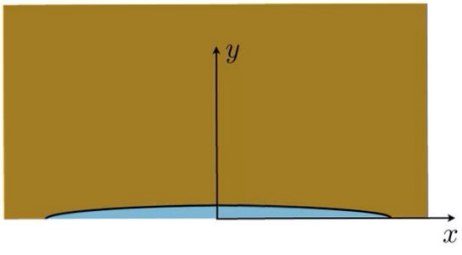
**Третье:** уравнение упругости. Мы деформируем породу вокруг трещины; считаем породу линейно-упругим материалом; после деформаций должно выполняться условие равновесия.

**Четвёртое:** критерий распространения. Аналогия с шариком: уравнение упругости показывает соотношение давления в шарике с его объёмом, а критерий распространения – это условие при котором шарик лопнет. То же самое с трещиной: упругость даёт нам соотношение между давлением жидкости внутри и открытием трещины, а критерий распространения позволяет найти условие, при котором трещина будет распространяться.

**Пятое:** транспорт проппанта.

В прошлый раз мы подробно остановились на модели утечек Картера и на уравнениях течения жидкости в трещине.

#### Derivation of elasticity equation (plane strain)

|  |   |  |
|--|---|--|
|   | <p><b>Hooke's law</b></p> $\sigma_{xx} = 2\mu\epsilon_{xx} + \lambda(\epsilon_{xx} + \epsilon_{yy}),$ $\sigma_{yy} = 2\mu\epsilon_{yy} + \lambda(\epsilon_{xx} + \epsilon_{yy}),$ $\sigma_{xy} = 2\mu\epsilon_{xy}$ <p><b>Boundary conditions</b></p> $u_y _{y=0} = \frac{w}{2} \quad \sigma_{xy} _{y=0} = 0$ | <p><b>Equilibrium equations</b></p> $\frac{\partial \sigma_{xx}}{\partial x} + \frac{\partial \sigma_{xy}}{\partial y} = 0$ $\frac{\partial \sigma_{yy}}{\partial y} + \frac{\partial \sigma_{xy}}{\partial x} = 0$ <p><b>Need to solve for</b></p> $\sigma_{yy} _{y=0} = ?$   |
| <p><b>Governing equations in terms of displacements</b></p> $(2\mu + \lambda) \frac{\partial^2 u_x}{\partial x^2} + (\lambda + \mu) \frac{\partial^2 u_y}{\partial x \partial y} + \mu \frac{\partial^2 u_x}{\partial y^2} = 0,$ $(2\mu + \lambda) \frac{\partial^2 u_y}{\partial y^2} + (\lambda + \mu) \frac{\partial^2 u_x}{\partial x \partial y} + \mu \frac{\partial^2 u_y}{\partial x^2} = 0$ | <p><b>Apply Fourier transform</b></p> $\hat{u}_x(k) = \int_{-\infty}^{\infty} u_x(x) e^{ikx} dx,$ $u_x(x) = \frac{1}{2\pi} \int_{-\infty}^{\infty} \hat{u}_x(k) e^{-ikx} dk,$   | <p><b>System of ODEs</b></p> $\frac{\partial \hat{u}_x}{\partial y} = \hat{d}_x,$ $\frac{\partial \hat{u}_y}{\partial y} = \hat{d}_y,$ $\frac{\partial \hat{d}_x}{\partial y} = \frac{2\mu + \lambda}{\mu} k^2 \hat{u}_x + \frac{\lambda + \mu}{\mu} ik \hat{d}_x + \frac{\mu}{2\mu + \lambda} k^2 \hat{u}_y,$ $\frac{\partial \hat{d}_y}{\partial y} = \frac{\mu + \lambda}{2\mu + \lambda} ik \hat{d}_x + \frac{\mu}{2\mu + \lambda} k^2 \hat{d}_x + \frac{\mu}{2\mu + \lambda} k^2 \hat{u}_y,$ <div style="border: 1px solid black; padding: 5px; display: inline-block;"> <math>\mathbf{Y}' = \mathbf{A}\mathbf{Y}</math> </div> |

Сейчас продолжим говорить про упругость и критерии распространения.

Упругость: порода вокруг трещины должна быть в равновесии в зависимости от того, какое у



трещины открытие или сдвиговое смещение в каждом элементе трещины.

В чём сложность расчёта теории упругости? В том, что этот процесс очень нелокальный. Например, если у нас есть несколько трещин, несколько элементов (множество элементов в каждой трещине), то изменение открытия в каждом элементе влечёт за собой изменение поля напряжений во всём пространстве. Т.е. если мы немного изменим степень открытости одного из элементов, то у нас будет влияние на все элементы. С практической точки зрения коэффициент взаимодействия уменьшается довольно быстро с расстоянием ( $\sim 1/r^3$  для трёхмерной геометрии). Т.е. с точки зрения практики можем задать некий радиус, после которого будем обрезать взаимодействия. Но тем не менее всё равно взаимодействие будет нелокальным. В этом сложность упругости.

Для плоской трещины у нас есть довольно простое выражение.

Если рассматриваем плоскую трещину и двухмерную задачу, то давление в трещине равно сжимающему напряжению на бесконечности и плюс дополнительный интеграл от открытия трещины (как функции координаты) с сингулярным ядром.

Т.е. открытие в любой точке трещины влияет на давление по всей трещине.

Для планарной трещины есть более сложное выражение, которое выводится абсолютно аналогично выражению для плоской трещины.

Далее выведем выражение для плоской трещины; для планарной – вывод такой же.

Я буду давать относительно простые примеры и относительно простые геометрии, но все рассматриваемые задачи решены и для сложных геометрий, и для полностью трёхмерных геометрий.

Вы можете найти все эти коэффициенты взаимодействия между элементами (интегральные ядра) для полностью трёхмерной задачи.

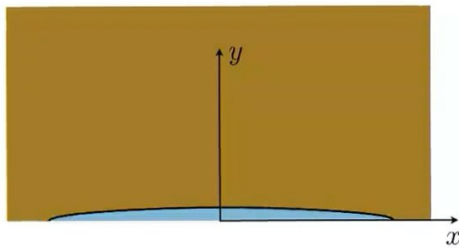
Всё, что я Вам покажу, верно для однородного по упругим свойствам материала. Но в реальности могут быть геологические слои и модули упругости Юнга и коэффициенты Пуассона могут меняться от слоя к слою.

Если Вам не страшна жёсткая математика и Вы хотите посчитать коэффициенты взаимодействия между элементами в слоистой среде, то можете посмотреть статью Pierce и Siebrits.

Но нам в рамках курса важна общая концепция: откуда берутся выражения и что описывают с точки зрения физики/механики.

Давайте выведем уравнение упругости. Что такое уравнение упругости? Это условие того, что порода вблизи трещины находится в равновесии. Мы рассматриваем плоскую трещину и вследствие симметрии рассматриваем половину задачи (только верхнюю часть трещины, например).

## Derivation of elasticity equation (plane strain)



Boundary conditions

$$\hat{\sigma}_{xy}|_{y=0} = 0,$$

$$\hat{u}_y|_{y=0} = \hat{w}(k)/2,$$

$$\mathbf{Y}' = \mathbf{A}\mathbf{Y}$$

Eigenvalues of  $\mathbf{A}$ :  $k, k, -k, -k$ .

Solution (resonance)

$$\mathbf{Y} = c_1 \mathbf{v}_1 e^{-|k|y} + c_2 (\mathbf{v}_1 y + \mathbf{v}_2) e^{-|k|y}$$

Solution in frequency domain

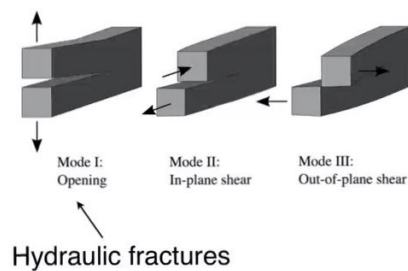
$$\hat{p} = \frac{\hat{w}|k|}{4} E' = -\frac{ik\hat{w}E'}{4} \frac{|k|}{(-ik)} = -\frac{1}{i} \operatorname{sgn} k \frac{d\hat{w}}{dx}.$$

[https://en.wikipedia.org/wiki/Fourier\\_transform](https://en.wikipedia.org/wiki/Fourier_transform)

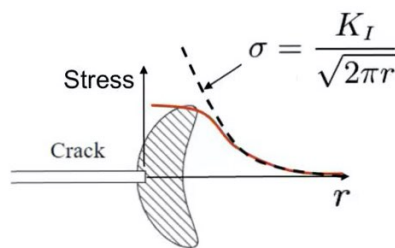
1

$$p = \sigma_0 - \frac{E'}{4\pi} \int_{-l}^l \frac{w(s) ds}{(x-s)^2}$$

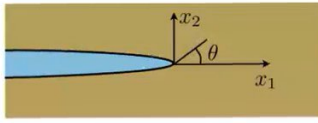
## Propagation condition



Hydraulic fractures

 $K_I$  - Stress Intensity Factor (SIF)Propagation condition:  $K_I = K_{Ic}$  $K_{Ic}$  - fracture toughness
[https://en.wikipedia.org/wiki/Fracture\\_mechanics](https://en.wikipedia.org/wiki/Fracture_mechanics)

## Mode I solution near the tip

**Solution methodology:**

- Write elasticity equations via Airy stress function
- Solve the equations assuming stress-free crack and finite displacement at the tip
- See lecture notes on fracture mechanics for more info: <http://www.mate.tue.nl/~piet/edu/frm/pdf/frmsyl1213.pdf>

$$\sigma_{11} = \frac{K_I}{\sqrt{2\pi r}} \left[ \cos\left(\frac{1}{2}\theta\right) \left\{ 1 - \sin\left(\frac{1}{2}\theta\right) \sin\left(\frac{3}{2}\theta\right) \right\} \right]$$

$$\sigma_{22} = \frac{K_I}{\sqrt{2\pi r}} \left[ \cos\left(\frac{1}{2}\theta\right) \left\{ 1 + \sin\left(\frac{1}{2}\theta\right) \sin\left(\frac{3}{2}\theta\right) \right\} \right]$$

$$\sigma_{12} = \frac{K_I}{\sqrt{2\pi r}} \left[ \cos\left(\frac{1}{2}\theta\right) \sin\left(\frac{1}{2}\theta\right) \cos\left(\frac{3}{2}\theta\right) \right]$$

$$u_1 = \frac{K_I}{2\mu} \sqrt{\frac{r}{2\pi}} \left[ \cos\left(\frac{1}{2}\theta\right) \left\{ \kappa - 1 + 2 \sin^2\left(\frac{1}{2}\theta\right) \right\} \right]$$

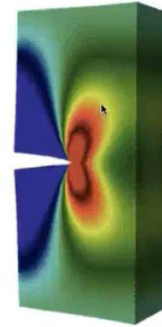
$$u_2 = \frac{K_I}{2\mu} \sqrt{\frac{r}{2\pi}} \left[ \sin\left(\frac{1}{2}\theta\right) \left\{ \kappa + 1 - 2 \cos^2\left(\frac{1}{2}\theta\right) \right\} \right]$$

$$\kappa = 3 - 4\nu \quad \mu = \frac{E}{2(1+\nu)}$$

Fracture width around the crack tip:

$$w = \sqrt{\frac{32}{\pi} \frac{K_I(1-\nu^2)}{E}} \sqrt{r}$$

Stress field around the crack tip:

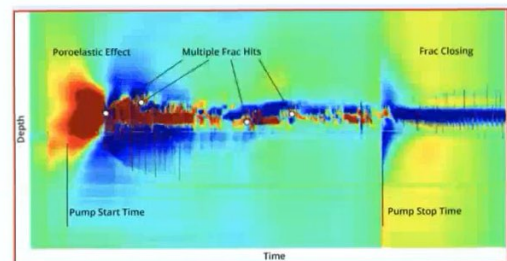
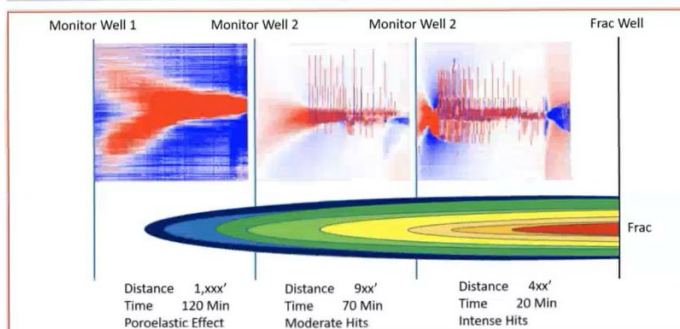


<http://umich.edu/~compphys/gradientElasticity.html>

## Observation of crack tip stress in the field

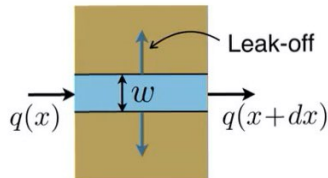
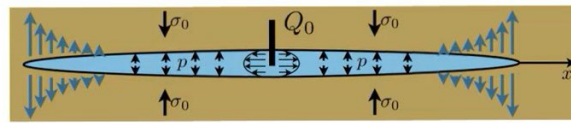


- Fiber optics cables are used to measure stretch versus time along the cable length
- A cable is often placed in the neighboring horizontal well, while the primary well is being fractured
- The characteristic "ears" of the approaching crack are clearly visible



Silixa.com Richter et al. 2020

## Volume balance for a plane strain HF

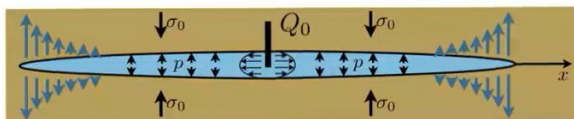


$$\begin{array}{ccccc}
 \text{New volume} & & \text{Flux in} & & \text{Leak-off} \\
 w(t+dt)dx & = & w(t)dx + q(x) - q(x+dx) - g_l dt dx + Q_0 dt \int \delta(x) dx \\
 \text{Previous volume} & & \text{Flux out} & & \text{Source}
 \end{array}$$

$$\frac{\partial w}{\partial t} + \frac{\partial q}{\partial x} + \frac{C'}{\sqrt{t-t_0(x)}} = Q_0 \delta(x)$$

Leak-off
Source

## Mathematical model for a plane strain HF



## Scaled quantities

$$C' = 2C_L \quad \mu' = 12\mu \quad E' = \frac{E}{1-\nu^2} \quad K' = \frac{8K_{Ic}}{\sqrt{2\pi}}$$

## Volume balance of fluid

$$\frac{\partial w}{\partial t} + \frac{\partial q}{\partial x} + \frac{C'}{\sqrt{t-t_0(x)}} = Q_0 \delta(x)$$

Leak-off
Source

## Elasticity

$$p = \sigma_0 - \frac{E'}{4\pi} \int_{-l}^l \frac{w(s) ds}{(x-s)^2}$$

Fluid pressure
Fracture length

## Laminar fluid flow flux

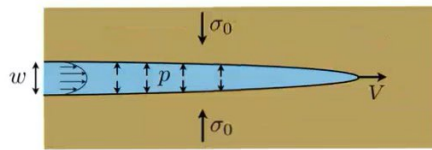
$$q = -\frac{w^3}{\mu'} \frac{\partial p}{\partial x}$$

## Propagation condition (LEFM)

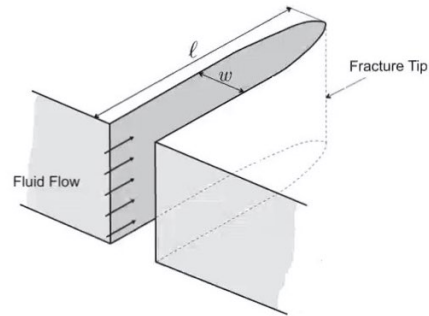
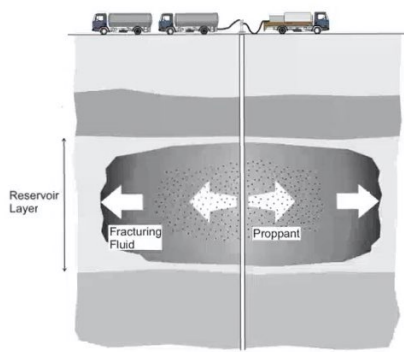
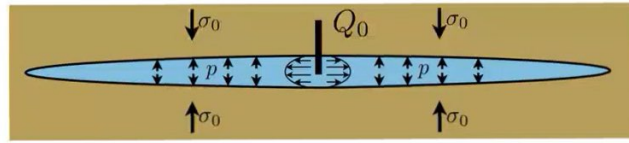
$$w \rightarrow \frac{K'}{E'} \sqrt{l-x} \quad (K_I = K_{Ic})$$

## HF geometries - the simplest

Semi-infinite (tip region)



Khristianovich–Zhelotov–Geertsma–De Klerk (KGD)

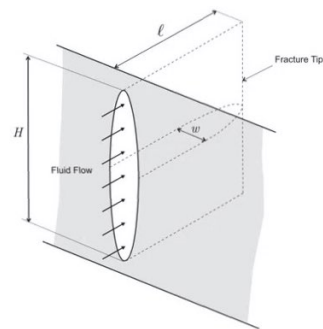
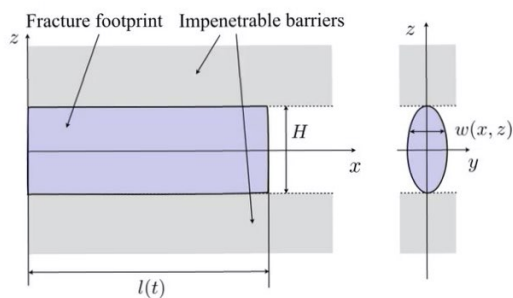


Khristianovic SA, Zheltov YP. 1955 Formation of vertical fractures by means of highly viscous fluids. In Proc. 4th World Petroleum Congress, Rome, Italy, 6–16 June, vol. 2, pp. 579–586.

## HF geometries

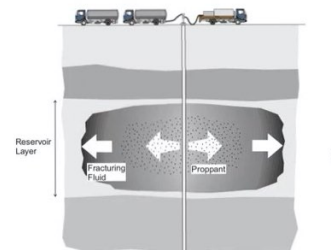
Perkins–Kern–Nordgren (PKN)

T.K. Perkins, L.R. Kern, Widths of hydraulic fractures, J. Pet. Tech. Trans. AIME (1961) 937–949.  
R.P. Nordgren, Propagation of vertical hydraulic fractures, Soc. Petrol. Eng. J. (1972) 306–314.



In conventional field applications, solution evolves from KGD geometry at early times to PKN geometry for late times

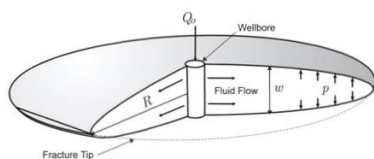
KGD (early time) -> PKN (developed fracture)



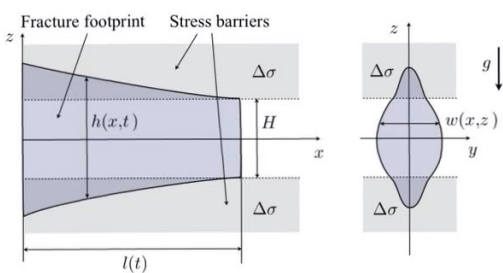


## HF geometries

## Radial

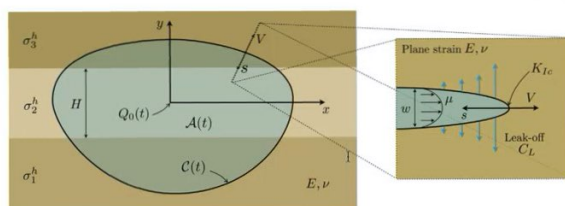


## Pseudo-3D



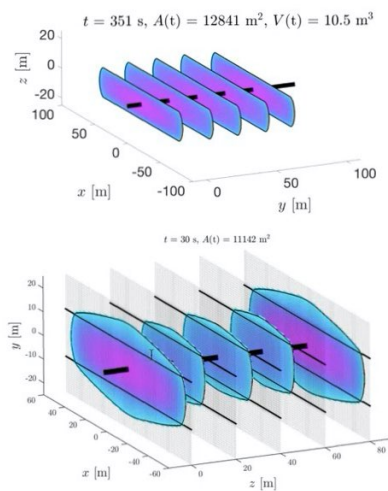
Settari A, Cleary M. Development and testing of a pseudo-three-dimensional model of hydraulic fracture geometry (P3DH). SPE 10505; 1982. p. 185-214.

## Planar-3D

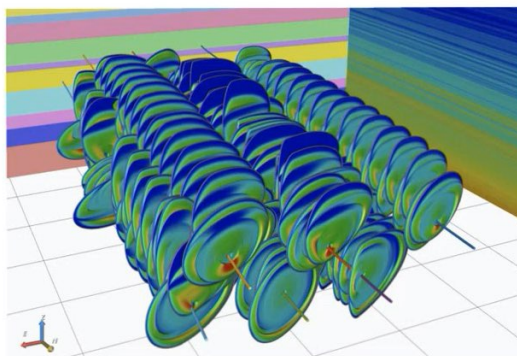


## HF geometries

## Multi-fracture

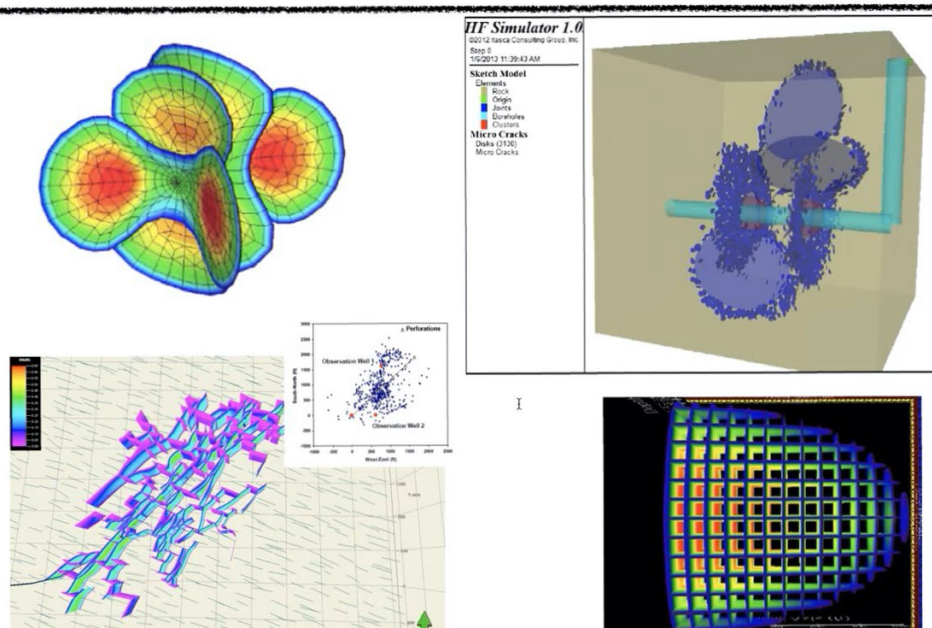


## Multi-well



Natural fractures, curved fractures, etc.

## HF geometries - other complex

**Lecture 3: Semi-infinite hydraulic fracture**

Egor Dontsov

Novosibirsk State University, March 2, 2021

## Recall from lecture 1

• **Essential pieces of HF model**

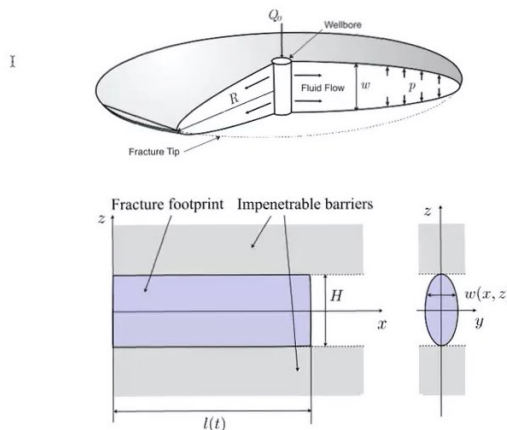
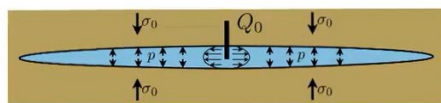
- Volume balance and leak-off
- Fluid flow
- Elasticity
- Propagation condition
- Proppant transport

• **Various fracture geometries**

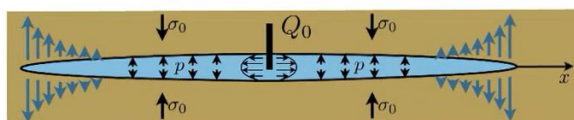
- Semi-infinite
- KGD (plane strain)
- PKN
- Radial
- Pseudo-3D
- Planar 3D
- Complex

• **Governing equations**

- KGD (plane strain)

• **Derivation of elasticity equation**

## Mathematical model for plane strain HF



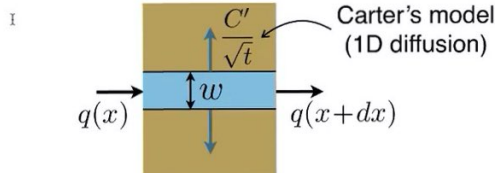
## Scaled quantities

$$C' = 2C_L \quad \mu' = 12\mu$$

## Volume balance of fluid

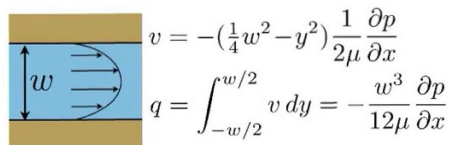
$$\frac{\partial w}{\partial t} + \frac{\partial q}{\partial x} + \frac{C'}{\sqrt{t - t_0(x)}} = Q_0 \delta(x)$$

Leak-off
Source

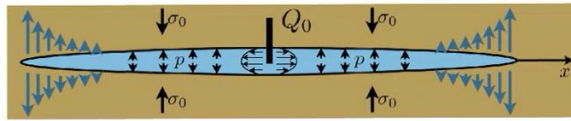


## Laminar fluid flow flux

$$q = -\frac{w^3}{\mu'} \frac{\partial p}{\partial x}$$



## Mathematical model for plane strain HF



## Scaled quantities

$$C' = 2C_L \quad \mu' = 12\mu$$

$$E' = \frac{E}{1-\nu^2}$$

## Volume balance of fluid

$$\frac{\partial w}{\partial t} + \frac{\partial q}{\partial x} + \frac{C'}{\sqrt{t-t_0(x)}} = Q_0 \delta(x)$$

Leak-off
Source

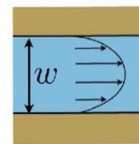
## I Elasticity

$$p = \sigma_0 - \frac{E'}{4\pi} \int_{-l}^l \frac{w(s) ds}{(x-s)^2}$$

Fracture length
Fluid pressure

## Laminar fluid flow flux

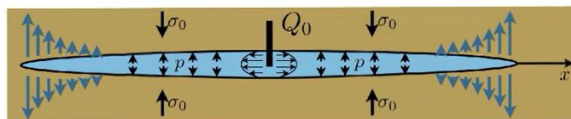
$$q = -\frac{w^3}{\mu'} \frac{\partial p}{\partial x}$$



$$v = -\left(\frac{1}{4}w^2 - y^2\right) \frac{1}{2\mu} \frac{\partial p}{\partial x}$$

$$q = \int_{-w/2}^{w/2} v dy = -\frac{w^3}{12\mu} \frac{\partial p}{\partial x}$$

## Mathematical model for plane strain HF



## Scaled quantities

$$C' = 2C_L \quad \mu' = 12\mu$$

$$E' = \frac{E}{1-\nu^2} \quad K' = \frac{8K_{Ic}}{\sqrt{2\pi}}$$

## Volume balance of fluid

$$\frac{\partial w}{\partial t} + \frac{\partial q}{\partial x} + \frac{C'}{\sqrt{t-t_0(x)}} = Q_0 \delta(x)$$

Leak-off
Source

## I Elasticity

$$p = \sigma_0 - \frac{E'}{4\pi} \int_{-l}^l \frac{w(s) ds}{(x-s)^2}$$

Fracture length
Fluid pressure

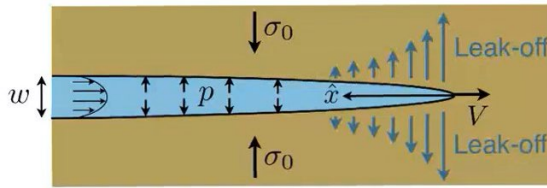
## Laminar fluid flow flux

$$q = -\frac{w^3}{\mu'} \frac{\partial p}{\partial x}$$

## Propagation condition (LEFM)

$$w \rightarrow \frac{K'}{E'} \sqrt{l-x} \quad (K_I = K_{Ic})$$

## Tip asymptotics: semi-infinite hydraulic fracture



## Material parameters

$$C' = 2C_L \quad \mu' = 12\mu$$

$$E' = \frac{E}{1-\nu^2} \quad K' = \frac{8K_{Ic}}{\sqrt{2\pi}}$$

## Fluid volume balance

$$\frac{\partial w}{\partial t} + \frac{\partial q}{\partial x} + \frac{C'}{\sqrt{t-t_0(x)}} = 0$$

## Traveling wave

$$w(Vt-x)$$

$$\frac{q}{w} = V + 2C'V^{1/2}\frac{\hat{x}^{1/2}}{w}$$

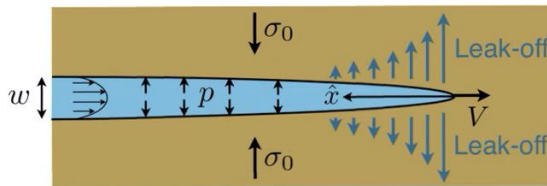
## Elasticity

$$w = \frac{K'}{E'}\hat{x}^{1/2} + \frac{4}{\pi E'} \int_0^\infty K(\hat{x}, \hat{s})(p(\hat{s}) - \sigma(\hat{s})) d\hat{s}$$

$$K(\hat{x}, \hat{s}) = \ln \left| \frac{\hat{x}^{1/2} + \hat{s}^{1/2}}{\hat{x}^{1/2} - \hat{s}^{1/2}} \right| - 2\frac{\hat{x}^{1/2}}{\hat{s}^{1/2}}$$

I

## Tip asymptotics: semi-infinite hydraulic fracture



## Material parameters

$$C' = 2C_L \quad \mu' = 12\mu$$

$$E' = \frac{E}{1-\nu^2} \quad K' = \frac{8K_{Ic}}{\sqrt{2\pi}}$$

## Fluid volume balance

$$\frac{\partial w}{\partial t} + \frac{\partial q}{\partial x} + \frac{C'}{\sqrt{t-t_0(x)}} = 0$$

## Traveling wave

$$w(Vt-x)$$

$$\frac{q}{w} = V + 2C'V^{1/2}\frac{\hat{x}^{1/2}}{w}$$

## Elasticity

$$w = \frac{K'}{E'}\hat{x}^{1/2} + \frac{4}{\pi E'} \int_0^\infty K(\hat{x}, \hat{s})(p(\hat{s}) - \sigma(\hat{s})) d\hat{s}$$

$$K(\hat{x}, \hat{s}) = \ln \left| \frac{\hat{x}^{1/2} + \hat{s}^{1/2}}{\hat{x}^{1/2} - \hat{s}^{1/2}} \right| - 2\frac{\hat{x}^{1/2}}{\hat{s}^{1/2}}$$

I

## Fluid flow

$$q = -\frac{w^3}{\mu'} \frac{\partial p}{\partial x} \longrightarrow q = \frac{w^3}{\mu'} \frac{dp}{d\hat{x}}$$

## LEFM propagation condition

$$w = \frac{K'}{E'}\hat{x}^{1/2}, \quad \hat{x} \rightarrow 0$$



## Non-singular formulation

### 1. Integrate elasticity equation by parts

$$w = \frac{K'}{E'} x^{1/2} - \frac{4}{\pi E'} \int_0^\infty F(x, s) \frac{dp}{ds} ds \quad F(x, s) = (s - x) \ln \left| \frac{x^{1/2} + s^{1/2}}{x^{1/2} - s^{1/2}} \right| - 2x^{1/2} s^{1/2}$$

### 2. Substitute pressure gradient into the result

$$w(x) = \frac{K'}{E'} x^{1/2} - \frac{4}{\pi E'} \int_0^\infty F(x, s) \frac{\mu'}{w(s)^2} \left[ V + 2C' V^{1/2} \frac{s^{1/2}}{w(s)} \right] ds$$

### 3. Apply scaling

$$\tilde{w} = \frac{E' w}{K' x^{1/2}}, \quad \chi = \frac{2C' E'}{V^{1/2} K'}, \quad \tilde{x} = (x/l)^{1/2}, \quad \tilde{s} = (s/l)^{1/2}, \quad l = \left( \frac{K'^3}{\mu' E'^2 V} \right)^2$$

### 4. Final result

$$\tilde{w}(\tilde{x}) = 1 + \frac{8}{\pi} \int_0^\infty G(\tilde{s}/\tilde{x}) \left[ \frac{1}{\tilde{w}(\tilde{s})^2} + \frac{\chi}{\tilde{w}(\tilde{s})^3} \right] d\tilde{s} \quad G(t) = \frac{1-t^2}{t} \ln \left| \frac{1+t}{1-t} \right| + 2$$

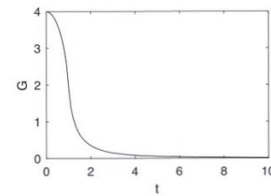
Non-singular

w = "toughness" + "viscosity" + "leak-off"

## Limiting vertex solutions

$$\tilde{w}(\tilde{x}) = 1 + \frac{8}{\pi} \int_0^\infty G(\tilde{s}/\tilde{x}) \left[ \frac{1}{\tilde{w}(\tilde{s})^2} + \frac{\chi}{\tilde{w}(\tilde{s})^3} \right] d\tilde{s}$$

w = "toughness" + "viscosity" + "leak-off"



Toughness dominates

$$\tilde{w}_k = 1, \quad \Rightarrow \quad w_k = \frac{K'}{E'} x^{1/2}$$

Viscosity dominates

$$\tilde{w}(\tilde{x}) = \frac{8}{\pi} \int_0^\infty \frac{G(\tilde{s}/\tilde{x})}{\tilde{w}(\tilde{s})^2} d\tilde{s} \quad \Rightarrow \quad \tilde{w}_m = \beta_m \tilde{x}^{1/3} \quad \Rightarrow \quad w_m = \beta_m \left( \frac{\mu' V}{E'} \right)^{1/3} x^{2/3}$$

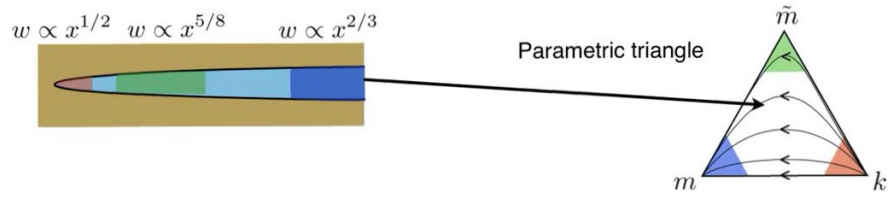
Desroches et al 1994

Leak-off dominates

$$\tilde{w}(\tilde{x}) = \frac{8\chi}{\pi} \int_0^\infty \frac{G(\tilde{s}/\tilde{x})}{\tilde{w}(\tilde{s})^3} d\tilde{s} \quad \Rightarrow \quad \tilde{w}_{\tilde{m}} = \beta_{\tilde{m}} \chi^{1/4} \tilde{x}^{1/4} \quad \Rightarrow \quad w_{\tilde{m}} = \beta_{\tilde{m}} \left( \frac{4\mu'^2 V C'^2}{E'^2} \right)^{1/8} x^{5/8}$$

Lenoah 1995

## Order of limiting solutions



Toughness

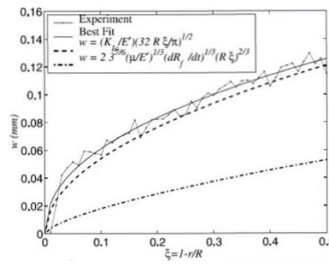
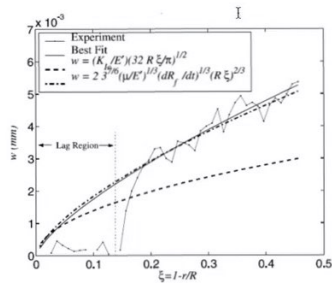
$$w_k = \frac{K'}{E'} x^{1/2},$$

Leak-off

$$w_{\tilde{m}} = \beta_{\tilde{m}} \left( \frac{4\mu'^2 V C'^2}{E'^2} \right)^{1/8} x^{5/8},$$

Viscosity

$$w_m = \beta_m \left( \frac{\mu' V}{E'} \right)^{1/3} x^{2/3}$$



Bunger&amp;Jeffrey

### **3 Лекция 09.03.2021 (Донцов Е.В.)**

#### **3.1 Задача для полубесконечной трещины (продолжение), плоская трещина**

## **4 Лекция 16.03.2021 (Донцов Е.В.)**

### **4.1 Модель радиальной трещины и модель PKN**

## **5 Лекция 23.03.2021 (Донцов Е.В.)**

### **5.1 Модель EP3D**



## **6 Лекция 02.04.2021 (Валов А.В.)**

### **6.1 Модель Planar3D ILSA: основные уравнения, классификация элементов**

## **7 Лекция 08.04.2021 (Валов А.В.)**

### **7.1 Модель Planar3D ILSA: дискретизация, поиск фронта, алгоритм**

## **8 Лекция 13.04.2021 (Байкин А.Н.)**

### **8.1 Модель Planar3D Biot: постановка задачи, перенос граничных условий**

## **9 Лекция 20.04.2021 (Байкин А.Н.)**

### **9.1 Модель Planar3D Biot: слабая постановка, штраф, пороупругие эффекты**

## **10 Лекция 27.04.2021 (Байкин А.Н.)**

### **10.1 Перенос проппанта: постановка задачи, обезразмеривание, оседание**



## **11 Лекция 30.04.2021 (Байкин А.Н.)**

### **11.1 Перенос пропантa: осреднение, численный алгоритм, бриджинг**

## 12 Лекция 11.05.2021 (Байкин А.Н.)

### 12.1 Моделирование течения жидкости в скважине

Мы с вами движемся дальше. Сегодня у нас будут тема про моделирование скважин. Т.е. до этого мы рассматривали преимущественно именно процессы в самой трещине, процессы в окружающем пласте (такие как утечки или деформация породы), а закачка всегда предполагалась на забое скважины (расход задавался на входе в саму трещину). Но вообще говоря у нас с вами есть скважины и то давление на входе в трещину, которое мы получаем в расчётах, не совпадает с давлением, которое мы получаем при измерении какими-то приборами (как на поверхности, так и когда мы опускаем датчик давления вниз к забою).

Зачем нам необходимо моделировать скважину?

Во-первых, чтобы знать, какое давление на забое скважины и как оно соотносится с давлением на устье скважины. Почему это важно? С одной стороны, можно было бы сказать: давайте поставим датчик давления на забое и всё будет классно, но этот датчик давления будет стоять не на самой трещине (т.е. между датчиком и трещиной будет либо участок трубы, либо как минимум участок с перфорацией вдоль которых возникает падение давления из-за трения; в итоге, измеряемое давление ВНР будет немного выше, чем давление на входе в трещину). Датчик забойного давления ВНР практически никогда не ставят, потому что это дорого; обычно мы знаем только давление на устье WHP.

Чтобы осуществить пересчёт ВНР через известное WHP нам необходимо учесть падение давления за счёт трения жидкости при движении по трубе и гидростатическое давление. Т.е. получаем, что за счёт трения давление на забое снижается (относительно WHP), а за счёт гидростатики давление на забое увеличивается (относительно WHP).

Кроме того, скважину интересно моделировать, чтобы объяснить наблюдаемый hammer effect: при резком закрытии скважины наблюдаются колебательные движения жидкости между скважиной и трещиной, которые имеют форму затухающих колебаний. И по этим затухающим колебаниям пытаются проводить диагностику. Как минимум говорят, что если есть hammer effect, то связь между скважиной и трещиной достаточно хорошая (т.е. перфорацию сделали достаточно качественно). Дальше по hammer эффекту пытаются оценить размеры трещины (ширину, длину).

Ещё дальше пытаются понять, какой порт заработал (если есть несколько портов) – правда это уже немного другая технология, которая называется tube waves от компании Schlumberger.

Для чего ещё моделировать скважину?

Если мы запустили пульсы проппанта (с определённой концентрацией) наверху (на устье), то никто не говорит, что они в таком же виде дойдут до забоя. Вообще говоря, они могут размазаться. Сегодня мы размазывание не будем рассматривать, потому что для этого нужна двухскоростная модель, а сегодня мы рассмотрим только односкоростную модель. Но вообще говоря из-за того, что у нас есть профиль скорости, частички проппанта будут собираться (проваливаться) к центру.

Размазывание концентрации проппанта важно моделировать, чтобы понимать, какое значение концентрации будет на входе в трещину.

Замечание аудитории. Слышали, что при движении по круглой трубе частички проппанта будут собираться в кольцо на расстоянии 0.6 радиуса от центра. Говорят, что это связано с тем, что сами частички проппанта могут крутиться вокруг своей оси.

Сегодня рассмотрим модель попроще, чтобы вы поняли общую схему, а дальше уже можно придумывать более сложные модели (главное понять, какой эффект хочется описать).

Теперь давайте приступим к самой модели.

Основные предположения модели:

- 1) наклонная скважина переменного радиуса  $R$  (на рисунке я специально нарисовал 2 цилиндра, т.к. скважина вообще говоря может иметь переменное сечение, но в реальности оно обычно кусочно постоянное);
- 2) односкоростная модель  $\vec{u}_p = \vec{u}_f = \vec{u}_m$  (жидкость и проппант движутся с одинаковой скоростью и эта скорость равна усреднённой скорости, формула для которой была в прошлый раз) – это оправдано, когда жидкость достаточно вязкая и частички проппанта как-бы заморожены в жидкость;
- 3) жидкость неньютоновская (т.е. жидкость со степенной реологией);
- 4) течение не расслаивается (не может быть такого, что проппант где-то внизу пошёл и течение расслоилось);
- 5) ламинарный, переходный, турбулентный режимы;
- 6) сжимаемостью пренебрегаем.

Что нам нужно, чтобы описать течение рассматриваемой жидкости?

- 1) Закон сохранения объёма проппанта:

$$\frac{\partial (cS(x))}{\partial t} + \frac{\partial (cS(x)u_p)}{\partial x} = 0, \quad c_p \equiv c \quad (1)$$

- 2) Закон сохранения объёма жидкости:

$$\frac{\partial ((1-c)S(x))}{\partial t} + \frac{\partial ((1-c)S(x)u_f)}{\partial x} = 0, \quad c_f \equiv 1-c \quad (2)$$

Уравнения (1) и (2) уже усреднённые по сечению скважины, но они выводятся точно также, как и для течения проппанта в трещине (только сейчас вместо раскрытия трещины  $w(x)$  используем площадь сечения  $S(x)$  и сейчас нет утечек).

Далее используя предположение односкоростной модели  $u_p = u_f = u_m$ , где  $u_m$  – среднеобъёмная усреднённая скорость смеси по сечению  $S(x)$ , складываем уравнения (1) и (2):

$$\frac{\partial (S(x)u_m)}{\partial x} = \frac{\partial (Q(t, x))}{\partial x} = 0, \quad (3)$$

где  $Q(t, x) = Su_m = \text{const}(t) = Q_{\text{inlet}}(t)$ ,  $S = \pi R^2$ .

Полученное уравнение говорит нам о том, что расход через любое поперечное сечение скважи-

ны одинаков и зависит от расхода, закачиваемого в скважину сверху. Если изменяется сечение скважины, то соответственно изменяется скорость течения так, чтобы расход оставался прежним.

3) Граничное условие (на концентрацию проппанта) на устье скважины:

$$c|_{x=0} = c_{inlet}(t) \quad (4)$$

Если проводить аналогию с течением проппанта в трещине, то уравнение (3) аналогично эллиптическому уравнению, в котором необходимо было искать давление.

В итоге: мы знаем расход  $Q_{inlet}(t)$ ; знаем площадь  $S(x)$ ; можем найти скорость  $u_m(x, t)$ ; как только знаем скорость, мы можем подставить её в уравнение (1), решить это уравнение и с учётом граничного условия (4) найти концентрацию проппанта.

При решении данной задачи можно использовать тот же алгоритм, что и для переноса проппанта в трещине, т.е. взять одномерную разностную схему (например, Лакса-Вендроффа с лимитерами), но я хотел бы ещё показать другой численный алгоритм. В данном случае, когда рассматриваем односкоростную модель, этот алгоритм проще, намного быстрее и точнее.

Можно показать, что в случае односкоростной модели уравнение (1) для переноса проппанта можно переписать в более простом виде:

$$\frac{\partial c}{\partial t} + u_m \frac{\partial c}{\partial x} = 0 \quad (5)$$

(уравнение (1) – это закон сохранения в дивергентной форме; а уравнение (5) – это классическое уравнение переноса, которое всем известно с урматов).

Физический смысл уравнения (5): концентрация  $c$  неизменно переносится векторным полем  $\vec{u}$  (в данном случае со скоростью  $u_m$  вдоль скважины).

Разобьём суммарное время закачки на  $k - 1$  временных интервалов:

$$\Delta t_k = t_k - t_{k-1}, \quad t_0 = 0 \quad (6)$$

Обозначение:  $F_k$  – это значение величины  $F$  в момент времени  $t_k$ .

В лагранжевых координатах  $(t, X)$  на интервале  $[t_k, t_{k+1}]$  имеем решение вида:

$$c(t, X(t)) = c(t, X|_{t=t_k}), \quad X(t) = X|_{t=t_k} + \int_0^t u_m(X(s)) ds \quad (7)$$

Грубо говоря, мы в начале трубы выпускаем некоторую лагранжеву частицу со скоростью  $u_m$ , и формула (7) говорит нам, что эта частица через время  $t$  дойдёт до положения с координатой  $X$ .

Соответственно мы можем рассматривать весь этот процесс в виде набора фронтов концентрации. За каждый новый шаг по времени мы выпускаем новый фронт, далее он движется по трубе и мы фиксируем кусочно постоянный уровень концентрации проппанта на каком-то участке

скважины.

Чтобы перейти в эйлерову сетку в точке  $x$ , мы просто смотрим между какими фронтами эта точка  $x$  лежит и говорим, что концентрация равна этому значению.

Нам нужна не только концентрация, а прежде всего нам нужно знать давление. Если на забое будет слишком большое давление, то жидкость может просто порвать трубу. Как будем считать давление? Для этого берём уравнение Навье-Стокса. Выводим аналогично выводу транспорта проппанта для трещины. Но здесь в роли малого параметра будет

$$\varepsilon = \frac{2R}{L},$$

где  $2R$  – диаметр скважины;  $L$  – длина скважины.

Вдоль оси  $Ox$ :

$$0 = -\frac{dp(x)}{dx} + \frac{1}{r} \frac{d}{dr} (r\tau_{rx}) + \rho g \sin \theta \quad (8)$$

$$\tau_{ij} = 2\mu_s D_{ij}, \quad D = \frac{1}{2} (\nabla u + (\nabla u)^T), \quad \tau_{rx} = \mu_s \frac{\partial u_x}{\partial r} \quad (9)$$

Есть зависимость вязкости смеси от концентрации проппанта. Формула Нолти:

$$\mu_s(c) = \mu_f \left(1 - \frac{c}{c_{max}}\right)^{-2.5n_{clean}}, \quad (10)$$

где  $c_{max} = 0.65$  – максимальная концентрация упаковки,  $\mu_f$  – вязкость чистой жидкости (гель без проппанта),  $n_{clean}$  – индекс течения чистой жидкости (без проппанта).

По сути сейчас докажем формулу Пуазейля с учётом силы тяжести:

$$0 = -\frac{dp(x)}{dx} + \frac{1}{r} \frac{d}{dr} \left( r\mu_s \frac{\partial u_x}{\partial r} \right) + \rho g \sin \theta \quad (11)$$

$$\frac{d}{dr} \left( r\mu_s \frac{\partial u_x}{\partial r} \right) = \left( \frac{dp(x)}{dx} - \rho g \sin \theta \right) r \quad (12)$$

С учётом  $\tau_{rx}|_{r=0} = 0$  (условие регулярности):

$$\mu_s \frac{\partial u_x}{\partial r} = \left( \frac{dp}{dx} - \rho g \sin \theta \right) \frac{r}{2} \quad (13)$$

Интегрируем:

$$u_x(r) = \frac{1}{4\mu_s} \left( \frac{dp}{dx} - \rho g \sin \theta \right) r^2 + C \quad (14)$$

Используем граничное условие  $u_x|_{r=R} = 0$ :

$$u_x(r) = \underbrace{-\frac{R^2}{4\mu_s} \left( \frac{dp}{dx} - \rho g \sin \theta \right)}_{u_{max}} \left( 1 - \frac{r^2}{R^2} \right) = u_{max} \left( 1 - \frac{r^2}{R^2} \right) \quad (15)$$

Нашли максимальную скорость  $u_{max}$ , а уравнение переноса записано в терминах средней ско-

рости, поэтому необходимо найти соотношение между средней скоростью и максимальной скоростью.

Возьмём и усредним найденный профиль скорости по сечению:

$$\begin{aligned} u_m &= \frac{1}{|S|} \int_S u_x dS = \frac{1}{\pi R^2} \int_0^{2\pi} \int_0^R u_{max} r \left(1 - \frac{r^2}{R^2}\right) dr d\varphi = \\ &= u_{max} \frac{2\pi}{\pi} \int_0^1 \frac{r}{R} \left(1 - \frac{r^2}{R^2}\right) d\left(\frac{r}{R}\right) = \frac{u_{max}}{2} \end{aligned} \quad (16)$$

Таким образом, получаем среднюю скорость ламинарного течения. В целом отсюда можно найти давление для ламинарного течения!

В тех же самых предположениях можем вывести профиль скорости для степенной жидкости:

$$\tau_{ij} = K_s \dot{\gamma}^{n-1} D_{ij}, \quad \dot{\gamma} = \sqrt{\frac{1}{2} \sum_{i,j=1}^3 D_{ij}^2} \quad (17)$$

Профиль скорости:

$$u_x = u_{max} \left(1 - \left(\frac{r}{R}\right)^{(n+1)/n}\right) \quad (18)$$

Сейчас выведем формулу для давления немного по-другому. Опять стартуем с уравнения Навье-Стокса и сразу усредняем:

$$0 = -\frac{dp(x)}{dx} + \frac{1}{r} \frac{d}{dr} (r\tau_{rx}) + \rho g \sin \theta \quad \left| \quad \frac{1}{\pi R^2} \int_S (\cdot) dS \right. \quad (19)$$

Получаем:

$$\frac{d\bar{p}}{dx} = -\frac{2\tau_w}{R} + \bar{\rho} g \sin \theta, \quad (20)$$

где  $\tau_w = -\tau_{rx}|_{r=R}$  – напряжение сдвига (трения) на стенке трубы. Его можно измерить и в случае турбулентного течения (например, для известного перепада давления найти  $\tau_w$  из (20)), поэтому этот вывод формулы для давления более общий (в предыдущем выводе не понятно, что такое профиль скорости в случае турбулентного течения).

Видим, что для определения давления профиль скорости нам и не нужен.

Обычно экспериментаторы работают с безразмерными величинами для того, чтобы можно было масштабировать результаты (измерить на одной трубе, а распространить результаты на трубы произвольного диаметра), поэтому вводят коэффициент трения Фаннинга:

$$f_s = \frac{\tau_w}{\rho u_m^2 / 2} \quad (21)$$

Тогда уравнение (20) примет вид:

$$\frac{dp}{dx} = -\frac{\rho u_m^2}{R} f_s + \rho g \sin \theta \quad (22)$$

Какой физический смысл у полученного уравнения? Это баланс сил: есть сила давления, кроме того проталкивать жидкость нам помогает сила тяжести, а препятствует трение жидкости о стенки трубы.

Давайте посчитаем коэффициент Фаннинга для ламинарного течения.

Профиль скорости:

$$u_x = 2u_m \left( 1 - \left( \frac{r}{R} \right)^2 \right) \quad (23)$$

Подставляем профиль скорости в выражение для  $\tau_w$ :

$$\tau_w = -\mu_s \frac{\partial u_x}{\partial r} \Big|_{r=R} = \frac{4\mu_s u_m}{R} \quad (24)$$

Подставляем  $\tau_w$  в выражение для коэффициента Фаннинга:

$$f_s = \frac{\tau_w}{\rho u_m^2 / 2} = \frac{4\mu_s u_m}{R \rho u_m^2 / 2} = \frac{8 \cdot 2}{\rho u_m (2R) / \mu_s} = \frac{16}{Re}, \quad (25)$$

где

$$Re = \frac{\rho u_m (2R)}{\mu_s}$$

Для степенной жидкости можно показать, что

$$f_s = \frac{16}{Re'}, \quad (26)$$

где

$$Re' = \frac{\rho u_m^{2-n} (2R)^n}{K_s \left( \frac{3n+1}{4n} \right)^n 8^{n-1}} - \text{обобщённое число Рейнольдса}$$

Для турбулентного течения явной формулы для коэффициента Фаннинга нет, но есть экспериментальные корреляции.

Теперь давайте перейдём к самому расчёту давления.

$$\frac{d\bar{p}}{dx} = -\frac{2\tau_w}{R} + \bar{\rho} g \sin \theta \quad (27)$$

$$p_{bh}(t, x) = p_{wh}(t) + \Delta p_h(t, x) - \Delta p_{fric}(t, x) \quad (28)$$

Гидростатика:

$$\Delta p_h(t, x) = \int_0^x \rho_s(c(t, s)) g \sin \theta(s) ds \quad (29)$$

$$\rho_s(c) = \rho_p c + \rho_f (1 - c) \quad (30)$$

Трение:

$$\Delta p_{fric}(t, x) = \int_0^x \frac{2\tau_w(t, s)}{R(s)} ds - \text{давление трения} \quad (31)$$

Переходим к следующей теме.

## 12.2 Разделение потоков между трещинами

В предыдущем разделе рассмотрели скважину от устья до забоя. Но у нас между трещиной и забоем могут быть участки скважины (во-первых, датчик забойного давления обычно выше трещины; во-вторых, у нас есть трение вдоль перфораций). Это ещё усугубляется задачей многостадийного ГРП, когда у нас есть несколько портов.

Я вам рассказывал про технологию plug and purf, когда опускают перфорационный пистолет, который сразу может сделать несколько отверстий (портов). В итоге при закачке растим несколько трещин и весь расход, который качаем в скважину, перераспределяется между трещинами. В зависимости от чего? Во-первых, в зависимости от трения по трубе и гидростатики. Во-вторых (что более существенно), от давления на перфорациях. Например, одна перфорация сделана хорошо и через неё будет хорошая проводимость. Другая перфорация сделана плохо и через неё будет плохая проводимость. Кроме того, есть эффект влияния соседних трещин друг на друга.

Если есть 3 трещины, то боковые трещины пойдут криво, но мы это не учитываем (пока рассматриваем плоские трещины).

Если успеем добраться, то потом расскажу, что делать с кривыми трещинами.

Но даже если у нас 3 плоские трещины, то боковые трещины за счёт упругого воздействия через породу зажимают центральную трещину. Соответственно в боковые трещины будет втекать больше жидкости и расход на них будет выше, чем в центральной части.

## 12.3 Математическая модель гидроудара в вертикальной скважине



## **13 Лекция 18.05.2021 (Байкин А.Н.)**

### **13.1 Модели инициации трещины гидроразрыва**